

Таким образом, зависимость порога B -эффекта структуры Si—SiO₂—ЖК от полярности приложенного напряжения обусловлена различным влиянием при смене полярности границ Si—SiO₂ и ЖК—SiO₂ на характер физических процессов, протекающих в рассматриваемой структуре, что ведет к накоплению разного по величине заряда на грации SiO₂—ЖК и к иному распределению электрических полей.

Литература

- [1] Рубцов А. Е., Невская Г. Е. // Обзоры по электронной технике. Серия 8. Вып. 1. М.: ЦНИИ «Электроника», 1986. С. 16—17.
- [2] Блинов Л. М. Электро- и магнитооптика жидкокристаллов. М.: Наука, 1978. 384 с.
- [3] Suzuki H. et al. // IEEE Trans. Electr. Devices. 1976. Vol. ED-23. N 4. P. 379—387.
- [4] Сканави Г. И. Физика диэлектриков. М., 1949. 498 с.

Новосибирский
электротехнический институт

Поступило в Редакцию
14 декабря 1987 г.

В окончательной редакции
21 марта 1988 г.

05; 06; 07

Журнал технической физики, т. 59, в. 3, 1989

ЭЛЕКТРООПТИЧЕСКИЙ МОДУЛЯТОР ТИПА ИНТЕРФЕРОМЕТРА МАХА—ЦЕНДЕРА НА Ti : LiTaO₃

P. Римейка, Д. Чиплис, А. Домаркас

Среди материалов интегральной оптики привлекает внимание tantalат лития, обладающий повышенной по сравнению с ниобатом лития стойкостью к фоторефрактивному эффекту и меньшей анизотропией показателей преломления. Оптические волноводы на LiTaO₃ и

электрооптические модуляторы на их основе изготавливались различными методами [1—5]. Перенос наиболее распространенной и дающей хорошие результаты в случае LiNbO₃ методики термодиффузии титана на tantalат лития связан с определенными сложностями, обусловленными низкой температурой Кюри (660 °C) [6] в LiTaO₃. Модулятор на основе планарных волноводов Ti : LiTaO₃ был создан в [2]. Несомненный интерес представляет создание электрооптического модулятора на основе канальных волноводов Ti : LiTaO₃, в частности интерферометра Маха—Цендера. Решению этой задачи и посвящена настоящая работа.

Геометрия интерферометрического модулятора подобна использованной нами ранее в LiNbO₃ [7]. На поверхность Y среза образца tantalата лития размерами (20×2×10) мм³ нанылся слой Ti толщиной 350 Å. Рисунок волноводов интерферометра создавался фотолитографическим способом. Волноводы были направлены вдоль оси X кристалла. Ширина полосок Ti в плачах интерферометра составляла 10 мкм. Перед диффузией образец в течение 4 ч выдерживался при температуре 650 °C с целью окисления титана. Затем производилась сама диффузия при температуре 1100 °C в течение 7.5 ч. Весь нагрев производился в воздухе.

Следующим этапом являлось восстановление электрооптических свойств, исчезающих вследствие нагрева LiTaO₃ выше температуры Кюри. К боковым плоскостям, перпендикулярным оси Z, прижимались титановые электроды. Подачей на них постоянного напряжения в образце создавалось электрическое поле напряженностью от 400 до 600 В/см. Образец с включенным напряжением нагревался до 700 °C, выдерживался при этой температуре в течение 20 мин и медленно охлаждался. Наконец, на поверхности Y среза образца фотолитографическим способом изготавливались электроды из Cu для подачи модулирующего напряжения. Длина электродов L составляла 6.7 мм, ширина зазора между ними d равна 12 мкм. Совмещение рисунков волноводов и электродов осуществлялось при помощи заранее нанесенных меток из SiO_x.

Работа интерферометра исследовалась на длине световой волны $\lambda_0=0.63$ мкм. Излучение Не—Не лазера вводилось и выводилось при помощи призм из GaP и регистрировалось фотоумножителем.

Поскольку волноводы не были одномодовыми по ширине, то выходной пучок света дифрагмировался для выделения участка, однородно изменяющегося под действием электрического поля. На рис. 1 представлена зависимость интенсивности света от приложенного

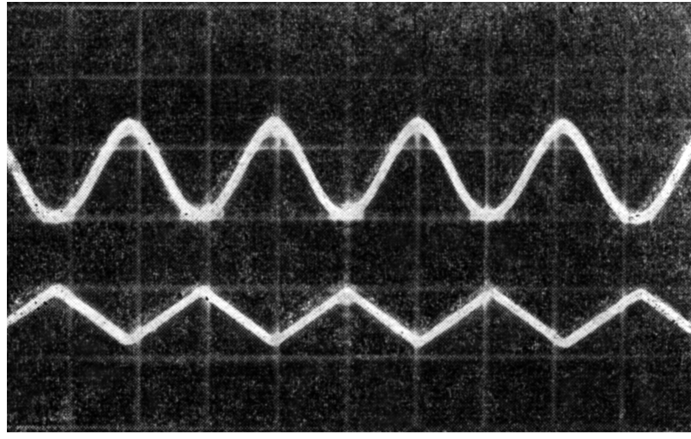


Рис. 2. Осциллограмма модуляции света.

Верхний луч — напряжение на нагрузке ФЭУ, пропорциональное интенсивности света, масштаб 50 мВ/дел. Темновой уровень совмещен со средней горизонтальной масштабной сетки. Нижний луч — напряжение на электродах модулятора; масштаб 5 В/дел. Масштаб по горизонтали 20 мкс/дел.

к модулирующим электродам постоянного напряжения. Полуволновое напряжение U_{π} , определенное отсюда, равно 4 В. При подстановке в теоретическую зависимость

$$I/I_0 = \frac{1}{2} (1 + \cos(2\pi b n_e^3 r_{33} U L / \lambda_0 d))$$

значения электрооптического модуля $r_{33}=30 \cdot 10^{-12}$ м/В [2] получаем величину интеграла перекрытия $b=0.44$. Здесь I и I_0 — соответственно интенсивности света в присутствии и в отсутствие модулирующего напряжения U , а $n_e=2.18$ — необыкновенный показатель преломления.

Полученное согласие между экспериментом и теорией следует считать разумным. На рис. 2 представлена осциллограмма модуляции света переменным напряжением. Как видно, глубина модуляции составляет не хуже 90 %. Таким образом, мы показали возможность создания электрооптического модулятора типа интерферометра Маха—Цендера методом диффузии титана.

Литература

- [1] Hammer J. M., Phillips W. // Appl. Phys. Lett. 1974. Vol. 24. N 11. P. 545—547.
- [2] Tangonan G. L., Persechini D. L., Lotspeich J. F., Barnoski M. K. // Appl. Opt. 1978. Vol. 17. N 20. P. 3259—3263.
- [3] Ангелов А. К., Золотов Е. М., Прохоров А. М., Щербаков Е. А. // Письма в ЖТФ. 1981. Т. 7. Вып. 23. С. 1407—1410.
- [4] Onodera H., Nakajima M. // Appl. Opt. 1986. Vol. 25. N 13. P. 2175—2183.
- [5] Eknayan O., Yoon D. W., Taylor H. E. // Appl. Phys. Lett. 1987. Vol. 51. N 6. P. 384—386.
- [6] Levinstein H. J., Ballman A. A., Capic C. D. // J. Appl. Phys. 1966. Vol. 37. N 12. P. 4585—4586.
- [7] Краузе И., Римейка Р., Чиплис Д. // Письма в ЖТФ. 1984. Т. 10. Вып. 15. С. 911—914.

Вильнюсский государственный
университет им. В. Каунаса

Поступило в Редакцию
13 января 1988 г.